

УДК 624.074-433.042.8

О КОЛЕБАНИЯХ И УСТОЙЧИВОСТИ ДЛИННЫХ ОРТОТРОПНЫХ
ЦИЛИНДРИЧЕСКИХ ОБОЛОЧЕК, ПОДВЕРЖЕННЫХ
ДЕЙСТВИЮ КРУЧЕНИЯ И ДАВЛЕНИЯ

КУКУДЖАНОВ С. И.

Исследовано влияние предварительного действия крутящих и нормального давления (как внешнего, так и внутреннего) на спектральные характеристики длинных ортотропных цилиндрических оболочек. Рассмотрены также вопросы устойчивости.

Вопросы о собственных несимметричных колебаниях и устойчивости длинных ортотропных цилиндрических оболочек, находящихся под предварительным действием крутящего момента (примененного по торцам оболочки) и нормального давления, недостаточно освещены в литературе. Для ортотропных оболочек средней длины вопрос устойчивости подробно изучен в работе [1].

Исследование проведено на основании полубезмоментной теории достаточно хорошо, отражающей физическую суть явления [2]. При решении учитывались главные граничные условия. Ввиду того, что точное удовлетворение всем граничным условиям в задачах колебания и устойчивости цилиндрических оболочек, подверженных действию кручения, представляет определенные трудности, обычно, считается возможным удовлетворение главным граничным условиям. Решения, полученные таким образом, для определения низших частотных и критических характеристик длинных оболочек является достаточно хорошим приближением для решений, соответствующих свободному опиранию краев [3, 4].

В работе получены формулы и кривые для определения низших частот длинных оболочек от величины крутящего момента, нормального давления, геометрии и параметров ортотропии оболочки, а также кривые зависимости критических крутящих моментов от нормального давления (как внешнего, так и внутреннего). В предельном случае достаточно длинных изотропных оболочек на основании полученных зависимостей получаем формулу Тимошенко для критического момента [5].

Используя основные допущения полубезмоментной теории и пренебрегая влиянием продольной компоненты сил инерции [6], получаем основное уравнение относительно радиального перемещения w

$$\begin{aligned} & \left[\frac{\partial^1}{\partial \varphi^4} \left(\frac{\partial^1 w}{\partial \varphi^1} + 2 \frac{\partial^2 w}{\partial \varphi^2} + w \right) + \frac{E_1}{E_2} \frac{\partial^4 w}{\partial \xi^4} - l^0 \left(\frac{\partial^2 w}{\partial \varphi^0} - \frac{\partial^1 w}{\partial \varphi^1} \right) - \right. \\ & \left. - s_2^0 \left(\frac{\partial^2 w}{\partial \xi^2 \partial \varphi^2} - \frac{\partial^1 w}{\partial \xi \partial \varphi^3} \right) - \frac{\rho R^2}{E_2} \frac{\partial^2}{\partial t^2} \left(\frac{\partial^1 w}{\partial \varphi^1} - \frac{\partial^2 w}{\partial \varphi^2} \right) \right] = 0 \end{aligned} \quad (1)$$

$$\xi = \frac{h^2}{12R^2}, \quad \xi^0 = \frac{s^0}{E_2} = -\frac{qR}{E_2 h}, \quad s_2^0 = \frac{\tau^0}{E_2} = \frac{M}{2\pi R^2 E h} \quad (2)$$

τ^0, τ^1 — касательное и окружное нормальное напряжения исходного состояния; M, q — крутящий момент и давление; R, l, h — радиус, длина, толщина оболочки; ξ, φ — безразмерные координаты в осевом и окружном направлениях ($\xi = x/R$).

Определение собственных колебаний предварительно напряженной оболочки сводится к нахождению ненулевых решений уравнения (1) при краевых условиях

$$w(0, \varphi, t) = w(l, \varphi, t) = 0, \quad \bar{l} = l/R \quad (3)$$

Решение для собственных колебаний предварительно напряженных оболочек представим в виде ряда

$$w = e^{i\omega t} \sum_{m,n} \sin i_{m\xi} \{ A_{mn} \sin n(\varphi - \gamma\xi) + B_{mn} \cos n(\varphi - \gamma\xi) \} \quad (4)$$

где $i_m = \frac{m\pi R}{e}$. В разложении (4) члены с косинусидальным множителем осевого направления отсутствуют в связи с граничными условиями (3).

Выражение (4) представим в виде

$$\begin{aligned} w = e^{i\omega t} \sum_{mn} \left\{ \frac{A_{mn}}{2} (\cos[n(\varphi - \gamma\xi) - i_m\xi] - \cos[n(\varphi - \gamma\xi) + i_m\xi]) + \right. \\ \left. + \frac{B_{mn}}{2} (\sin[n(\varphi - \gamma\xi) + i_m\xi] - \sin[n(\varphi - \gamma\xi) - i_m\xi]) \right\} \end{aligned} \quad (5)$$

Подставляя (5) в уравнение (1), получаем

$$\begin{aligned} \sum_{mn} \{ A_{mn} \Psi(n, -m) \cos[n(\varphi - \gamma\xi) - i_m\xi] - A_{mn} \Psi(n, m) \cos[n(\varphi - \gamma\xi) + i_m\xi] + \\ + B_{mn} \Psi(n, m) \sin[n(\varphi - \gamma\xi) + i_m\xi] - B_{mn} \Psi(n, -m) \sin[n(\varphi - \gamma\xi) - i_m\xi] \} = 0 \end{aligned} \quad (6)$$

$$\begin{aligned} \Psi(n, \pm m) = 4\mu^2(n^2 - 1)^2 + \frac{E_1}{E_2} \mu_{\pm}^4 + s_2^0 \mu_{\pm} - n^2(n^2 - 1) + l^0 n^2(n^2 - 1) - \\ - \Omega_2 n^2(n^2 + 1), \quad \mu_{\pm} = \pm n\gamma + i_m, \quad \Omega_2 = \rho R^2 E \tau^0 \end{aligned}$$

Отсюда получаем

$$\begin{aligned} A_{mn} [\Psi(n, -m) - \Psi(n, m)] = 0, \quad A_{mn} [\Psi(n, -m) + \Psi(n, m)] = 0 \\ B_{mn} [\Psi(n, m) - \Psi(n, -m)] = 0, \quad B_{mn} [\Psi(n, m) + \Psi(n, -m)] = 0 \end{aligned}$$

Следовательно, для любой пары m, n должно иметь место равенство

$$W(n, m) = 0, \quad W(n, -m) = 0 \quad (7)$$

Таким образом, для существования нетривиального решения уравнения (1) при краевых условиях (3) необходимо и достаточно, чтобы нашлись целые m, n , удовлетворяющие условиям (7).

Соотношения (7) представляют собой следующие уравнения:

$$\Omega_1 \omega^2 = \frac{\varepsilon n^2 (n^2 - 1)^2}{n^2 + 1} + \frac{E_1}{E_2} \frac{(-n\gamma + i_m)^4}{n^2 (n^2 + 1)} + \frac{2s_2^0 (-n\gamma + i_m) n (n^2 - 1)}{n^2 + 1} + \frac{t_1^0 n^2 (n^2 - 1)}{n^2 + 1}$$

$$\Omega_2 \omega^2 = \frac{\varepsilon n^2 (n^2 - 1)^2}{n^2 + 1} + \frac{E_1}{E_2} \frac{(-n\gamma - i_m)^4}{n^2 (n^2 + 1)} + \frac{2s_2^0 (-n\gamma - i_m) n (n^2 - 1)}{n^2 + 1} + \frac{t_2^0 n^2 (n^2 - 1)}{n^2 + 1}$$

Отсюда получаем

$$\Omega_2 \omega^2 = \frac{\varepsilon n^2 (n^2 - 1)^2}{n^2 + 1} + \frac{E_1}{E_2} \frac{(n\gamma)^4 + 6(n\gamma)^2 i_m^2 + i_m^4}{n^2 (n^2 + 1)} - \frac{2s_2^0 (n\gamma) n (n^2 - 1)}{n^2 + 1} - \frac{t_2^0 n^2 (n^2 - 1)}{n^2 + 1} \quad (8)$$

$$(E_1/E_2) \{ (n\gamma)^2 + (n\gamma)^2 i_m^2 \} - \frac{s_2^0}{2} n^2 (n^2 - 1) = 0 \quad (9)$$

На основании формулы (8) нетрудно заметить, что наименьшая частота и зависимости от m реализуется при $m=1$.

Упростим выражение (8), используя равенство (9), тогда

$$\Omega_2 \omega^2 = \frac{\varepsilon n^2 (n^2 - 1)^2}{n^2 + 1} + \frac{E_1}{E_2} \frac{i_1^4 + 2i_1^2 (n\gamma)^2 - 3(n\gamma)^4}{n^2 (n^2 + 1)} + \frac{t_2^0 n^2 (n^2 - 1)}{n^2 + 1} \quad (10)$$

Введем обозначения

$$n\gamma = z, \quad s_2^0/s_2 = \bar{s}_2, \quad t_2^0/t_* = \bar{t}_2, \quad s_* = \frac{(12\varepsilon)^{3/4}}{3\sqrt{2}}, \quad t_* = 3z \quad (11)$$

тогда формула (10) и соотношение (9) примут вид

$$\Omega_2 \omega^2 = \frac{\varepsilon n^2 (n^2 - 1)^2}{n^2 + 1} + \frac{E_1}{E_2} \frac{i_1^4 + 2i_1^2 z^2 - 3z^4}{n^2 (n^2 + 1)} + \frac{3\bar{t}_2 \varepsilon n^2 (n^2 - 1)}{n^2 + 1} \quad (12)$$

$$z^4 + 3pz^2 + 2q = 0, \quad p = \frac{i_1^2}{3}, \quad q = -\frac{E_2}{E_1} s_2 n^2 (n^2 - 1) s_* \quad (13)$$

Представим E_1 и E_2 в следующем виде (x_1, x_2 — независимые параметры)

$$E_1 = x_1 E, \quad E_2 = x_2 E$$

Тогда

$$\bar{t}_2 = \frac{\bar{t}}{\alpha_2}, \quad \bar{t} = \frac{t^0}{t_k}, \quad t^0 = -\frac{qR}{Eh} \quad (14)$$

$$q = -\frac{\bar{s}}{\alpha_1} n^2 (n^2 - 1) s_0, \quad \bar{s} = \frac{s^0}{s_n}, \quad s^0 = \frac{p^0}{E}$$

Так как дискриминант уравнения (13) $D > 0$, то имеем одно действительное решение

$$z = u_1 + u_2, \quad u_{1,2} = (-q \pm \sqrt{q^2 + p^3})^{1/3} \quad (15)$$

В частности, на основании выражений (12), (13) для изотропной оболочки ($\alpha_1 = \alpha_2 = 1$) при $t^0 = s^0 = 0$ имеем $\bar{\gamma} = 0$ и известную формулу $\Omega_0^2 = [n^2(n^2 - 1)^2 + \alpha_1^2] [n^2(n^2 + 1)]^{-1}$, $\Omega = \Omega_0 R^2 E^{-1}$.

Введем геометрический параметр

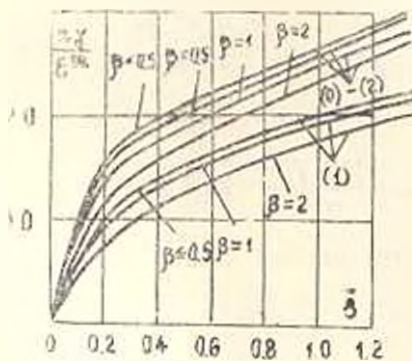
$$\beta = \frac{R}{h} \alpha^{-1/2} \quad (16)$$

и рассмотрим оболочки для различных β .

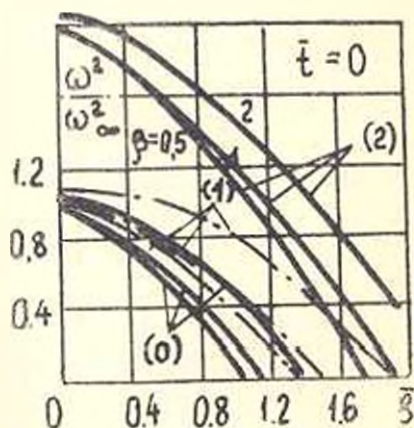
Выражение $n\bar{\gamma}$ на основании (14), (15) имеет вид

$$n\bar{\gamma} = \left\{ \left[\sqrt{2(12)^{3/2}} \frac{\bar{s}}{\alpha_1} + \sqrt{2(12)^{3/2} \left(\frac{\bar{s}}{\alpha_1} \right)^2 + \left(\frac{\beta}{3} \right)^3} \right]^{1/3} + \left[\sqrt{2(12)^{3/2}} \frac{\bar{s}}{\alpha_1} - \sqrt{2(12)^{3/2} \left(\frac{\bar{s}}{\alpha_1} \right)^2 + \left(\frac{\beta}{3} \right)^3} \right]^{1/3} \right\}^{2/3} \quad (17)$$

На фиг. 1 представлены кривые изменения значений $n\bar{\gamma}$ в зависимости от предварительного сдвигающего напряжения \bar{s} (при $n=2$), когда $\beta = 0,5; 1; 2$ для различных значений ($\alpha_1 = \alpha_2 = 1$) (0), ($\alpha_1 = 2, \alpha_2 = 1$) (1), ($\alpha_1 = 1, \alpha_2 = 2$) (2).



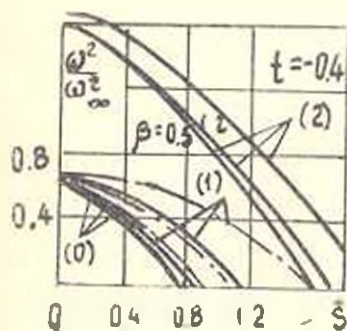
Фиг. 1.



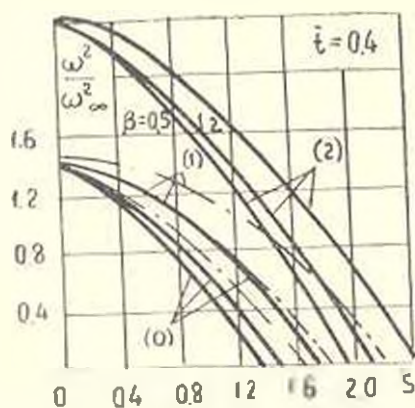
Фиг. 2.

На фиг. 2, 3, 4 приведены кривые изменения частоты ω в зависимости от \bar{s} для случаев (0), (1), (2), когда $\bar{t} = 0; -0,4; 0,4$ (положительные значения \bar{t} соответствуют внутреннему давлению; отрицательные — внешнему давлению). По оси ординат на этой фигуре

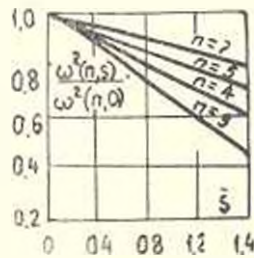
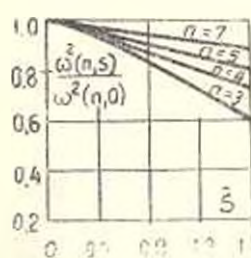
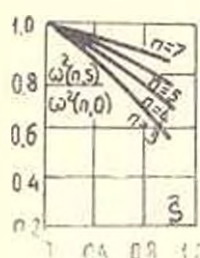
отложена безразмерная частота ω^2/ω_0^2 ($\omega_0^2 = \Omega^2 - \frac{36}{5} \epsilon$), а по оси абсцисс—безразмерная величина \bar{s} . Критические нагрузки получаются как точки пересечения с осью абсцисс кривых, выражающих зависимость наименьшей частоты от нагрузки.



Фиг. 3.



Фиг. 4.



Фиг. 5.

На основании формулы (15), аналогичным образом, нетрудно определить значения n_1 при $n=3, 4, 5, \dots$. Подставляя эти значения n и n_1 для фиксированных значений $\sigma_1, \sigma_2, \bar{s}, \bar{t}$ в формулу (12), получаем соответствующие значения ω . В частности, на фиг. 5 приведены кривые изменения частоты в зависимости от \bar{s} при $n=3, 4, 5, \dots$ для $\bar{s}=0,5; 1; 2$ (при $\bar{t}=0,4$), для случаев (0), (1), (2). При этом соответствующие частотные кривые (для фиксированного n), в отличие от нижней частоты, для приведенных значений \bar{s} практически сливаются. Аналогичным образом нетрудно построить кривые и для иных значений исследуемых параметров.

Таким образом, показана степень влияния параметров ортотропичности на частотные характеристики предварительно закрученной оболочки как при действии внешнего, так и внутреннего давления. На основании приведенных кривых нетрудно заметить, что влияние параметров E_1 и E_2 на частотные характеристики в зависимости от значений нормального давления и крутящих моментов различно: если при малых

значениях \bar{s} большую роль оказывает величина радиального модуля упругости E_2 , то по мере возрастания \bar{s} роль продольного модуля упругости E_1 возрастает и тем больше, чем больше параметр β . Отмечено существенное влияние исследуемых факторов на низшие частоты и сравнительно слабое на высшие частоты.

На основании соотношений (12), (13) нетрудно получить критические зависимости для \bar{s} и \bar{t} (для различных значений α_1 и α_2).

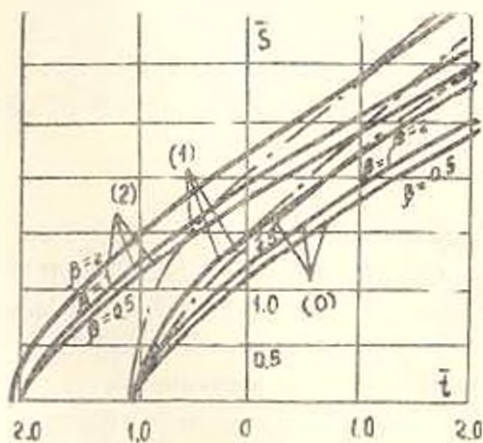
При $\omega = 0$ из этих формул получаем

$$t = \alpha_1 \frac{n^2 - 1}{3} + \alpha_2 \frac{\alpha_1^2 + 2\alpha_1(n_1^2) - 3(n_1^2)}{3\alpha_1 n^4 (n^2 - 1)}, \quad \bar{t} = \frac{t^0}{t_0^*}, \quad t^0 = \frac{qR}{Eh} \quad (18)$$

$$(n_1^2)^2 + \alpha_1(n_1^2) - \alpha_1^{-1} \frac{\bar{s}}{2} n^4 (n^2 - 1) s_0 = 0, \quad \bar{s} = \frac{s^0}{s_0^*}, \quad s^0 = \frac{\tau^0}{E} \quad (19)$$

В частности, при $\alpha_1 = \alpha_2 = 1$ и $s^0 = 0$ на основании (18), (19) имеем $n_1^2 = 0$ и $\bar{t} = \frac{1}{3} \{ (n^2 - 1) + \alpha_1^2 [\pm n^4 (n^2 - 1)]^{-1} \}$, откуда для достаточно длинных оболочек, при $n = 2$, получаем известную формулу $t_* = 3z$.

Согласно формуле (19) получаем зависимость $n_1^2(\bar{s})$. Поэтому, задавая \bar{s} , для фиксированного n получаем соответствующее значение n_1^2 . Подставляя это значение n_1^2 (при $n = 2$) в формулу (18), получаем соответствующее критическое значение t_* . На фиг. 6, для вышерассмотренных случаев (0), (1), (2) приведены зависимости $t_*(\bar{s}_0)$ для $\beta = 0,5; 1; 2$.



Фиг. 6.

При $\bar{t} = 0$, $n = 2$ уравнение (18) принимает вид

$$3\alpha_1 z^2 - 2\alpha_2 z - (\alpha_1^2 \alpha_2 + 12^2 \alpha_2) = 0$$

Положительный корень этого уравнения имеет вид

$$z = \frac{\alpha_1^2}{3} \left[1 + \sqrt{1 + 3 \left(1 + \frac{\alpha_2}{\alpha_1} \frac{1 + 1}{\alpha_1^2 \alpha_2} \right)} \right] \quad (20)$$

Если принять, что

$$(\alpha_1/\alpha_2)^{1/2} \alpha_1 z_1^{-1/2} \leq 12 \quad (21)$$

то формула (20) принимает вид

$$z = \frac{z_1^2}{3} \left[1 + 12\sqrt{3} \left(\frac{z_2}{z_1} \right)^{1/2} \frac{1}{z_1^2 z_1^{-1/2}} \right] \quad (22)$$

Подставляя это значение z в формулу (19), имеем

$$S_2^0 = \alpha_1^{1/2} \alpha_2^{3/4} \frac{(12z)^{3/4}}{3\sqrt{2}} \left[1 + \left(\frac{z_1}{z_2} \right)^{1/2} \frac{z_1 z_1^{-1/2}}{12\sqrt{3}} \right] \left[1 + 4 \left(\frac{z_1}{z_2} \right)^{1/2} \frac{z_1 z_1^{-1/2}}{12\sqrt{3}} \right] \quad (23)$$

При рассмотрении достаточно длинных оболочек, когда

$$(\alpha_1/\alpha_2)^{1/2} \alpha_1 z_1^{-1/2} \leq 0,5 \quad (24)$$

формула (23) упрощается и принимает вид

$$S_2^0 = \alpha_1^{1/2} \alpha_2^{3/4} \frac{(12z)^{3/4}}{3\sqrt{2}} \quad (25)$$

При $\alpha_1 = \alpha_2 = 1$ из (25) получаем известную формулу Тимошенко для критического крутящего момента достаточно длинных оболочек, где влияние граничных условий не учитывалось [5]. Следовательно, отсюда получаем, что при выполнении неравенства (24), граничными условиями можно пренебречь. При этом учитывалось, что неучтенные граничные условия практически мало существенны, так как наибольшее расхождение между критическими сдвигающими усилиями длинных оболочек для граничных условий: $w = u = 0$ и $w = T_1 = 0$ составляет величина около 10% [7], тогда как условия по v , s , w_{xy} , w_{xz} являются несущественными [8], [9]. В то же время, из работы [4] следует, что критическое сдвигающее усилие, полученное при удовлетворении главных граничных условий $w = 0$, дает достаточно хорошую аппроксимацию результатов как для граничных условий свободного опирания, так и жесткого закрепления.

Рассмотренные вопросы представляют существенный интерес при динамических расчетах предварительно закрученных длинных ортотропных оболочек, подверженных действию нормального давления.

ABOUT VIBRATIONS AND STABILITY OF LONG ORTHOTROPIC CYLINDRICAL SHELLS UNDER ACTION OF TORSION AND PRESSURE

S. N. KUKUDJANOV

ՈՒՐՈՐԴԱՆ ԵՎ ՀՆՏՄԱՆ ԱՉԳՆՅՈՒԹՅԱՆԷ ԵՆԹՈՒԿ ԵՐԿԱՐ ՕՐԹՈՏՐՈՓ ՎԱՅՆԱՅԻՆ ԹԱԳԱՆԹՆԵՐԻ ՏԱՏԱՆՈՒՄՆԵՐԸ ԵՎ ԿԱՅՈՒՆՈՒԹՅՈՒՆԸ

Ս. Ն. ԿՈՒԿՈՒԺՅԱՆՈՎ

Ս. Ն. Կ. ՈՒ. Կ. ՈՒ. Կ. ՈՒ.

Հետազոտված է սյրորման և նորմալ ճնշման (իջնչվես արտաքին, աշխուհս էլ ներքին) նախնական գործող բևաննրի ազդեցությունը երկար օրթոտրոպ

այանային թաղանթների սպիկտրայ ընդթաղրիչները գիտարկված է նաև կալոնոսթյան հարցը:

Շեռագոտուներ կատարված է կիսաանժամեկու տեսության հիման վրա: Հոսման մասանակ Կոչիկ են առնվել զիտավոր եզրային պայմանները: Մտադրված են ցածր նաճախականությունների որոշման նամար բանաձևեր՝ կախված պատող մոմենտի, նորմայ մնշման, երկրաչափություն և թաղանթի որթարտադրայի պարամետրերից. ինչպես նաև կրիտիկական պատող մոմենտների նորմայ ճնշումից կախվածություն կորերը:

LITERATURE

1. Диринский В. М., Ахметжанов С. Ч. Устойчивость цилиндрической ортотропной оболочки при кручении и нормальном давлении. Прочность цилиндрических оболочек.—М.: Госиздат оборон. промыш., 1959, с. 95—108.
2. Погодин Н. И. Точка точки оболочки.—М.: Судпромп., 1962, 344 с.
3. Прочность, устойчивость, колебания. Справочник, Г. Э. Под редак. И. А. Биргева и И. Г. Пановко.—М.: Машиностроение, 1968, 567 с.
4. Толстик Н. Е. К вопросу об устойчивости цилиндрической оболочки при кручении.—Прикл. механика, 1960, 16, № 9, с. 132—134.
5. Тилищенко С. И. Устойчивость пружин систем.—М.-Л.: Гостехиздат, 1955, 565 с.
6. Какриджанов С. И. Влияние тангенциальных граничных условий на собственные колебания предварительно-напряженной ортотропной цилиндрической оболочки.—Изв. АН Арм. ССР, Механика, 1974, т. 27, №5, с. 19—26.
7. Алузяк Н. А. Критическая нагрузка длинной цилиндрической круговой оболочки при кручении.—Прикл. матем. и мех., 1954, т. 18, вып. 1, с. 27—34.
8. Yamaki N., Kitami S. Buckling of circular cylindrical shells under torsion.—Rept. Inst. High Speed Mech. Japan, Rept 1: 1965—1966, v. 17, № 168, pp. 171—184; Rept 2: 1966—1967, v. 18, № 175, pp. 121—142.
9. Batdorf S. B., Stein M., Schilderout M. Critical stress of thin-walled cylinders in torsion.—NACA, Techn. Note, 1947, № 1344.

Институт математики
АН Грузии

Поступил в редакцию
13 III 1999